

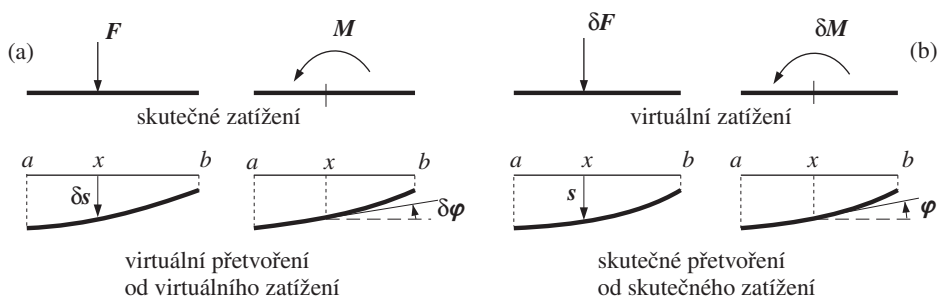
metodou (v odstavci 1.3) a odvodíme diferenciální rovnici ohybové čáry rovinného nosníku (v odstavci 1.2).

### 1.1.1. Pojem virtuálního přetvoření, zatížení a virtuální práce

**Virtuálním přetvořením** tělesa rozumíme přetvoření velmi malé, fiktivní, myšlené avšak možné, které nastává vždy v souladu s vnějšími a vnitřními vazbami tělesa (obr. 1.2).

V praktických aplikacích pokládáme za virtuální přetvoření např. pružnou deformaci nosníku (posunutí  $\delta s$  a pootočení  $\delta\varphi$  průřezu) vyvolanou virtuálním zatížením.

**Virtuální zatížení** (síla  $\delta F$ , moment  $\delta M$ , ...) je zatížení fiktivní, myšlené avšak možné a mohlo by skutečně na pružném tělese působit. Jeho velikost není na rozdíl od virtuálního přetvoření omezena a v praktických aplikacích ho pro jednoduchost a snadnost řešení volíme  $\delta F = 1$  nebo  $\delta M = 1$  (viz odstavec 1.1.7).



Obr. 1.2. Virtuální práce síly a momentu

Přetvoření tělesa, vyvolané virtuálním zatížením, nazýváme virtuální přetvoření tělesa (obr. 1.2).

**Virtuální práce síly** je práce virtuální síly  $\delta F$  na reálném (skutečném) posunutí  $s$  tělesa (obr. 1.2b)

$$\delta L = \delta F \cdot s = \delta F s . \quad (1.1)$$

**Virtuální práce momentu** (dvojice sil) je pak práce virtuálního momentu  $\delta M$  na skutečném pootočení  $\varphi$  (obr. 1.2b)

$$\delta L = \delta M \cdot \varphi = \delta M \varphi . \quad (1.2)$$

U **virtuální práce tuhých**, tj. nedeformovatelných, **těles** (viz kapitola 7 prvního dílu učebnice) volíme za virtuální veličiny posunutí tělesa  $\delta s$  a pootočení – rotaci – tělesa  $\delta\varphi$ .

Virtuální práce síly je pak práce reálné (skutečné) síly  $F$  na virtuálním posunutí tělesa  $\delta s$  (obr. 1.2a)

$$\delta L = F \cdot \delta s = F \delta s \quad (1.3)$$

Ze statických tabulek [10] získáme  $I = 9,79 \cdot 10^{-5} \text{ m}^4$  a potom

$$w_f = \frac{260}{2,1 \cdot 10^8 \cdot 9,79 \cdot 10^{-5}} = 0,0126 \text{ m } (\downarrow).$$

### Příklad 1.7

Stanovte vodorovné posunutí  $u_a$  průřezu  $a$  prostého lomeného nosníku (obr. 1.18a) s pruty konstantního průřezu  $b/h = 0,3/0,4 \text{ m}$  o délkách  $l_1 = 5 \text{ m}$ ,  $l_2 = 4 \text{ m}$  pro *nerovnoměrnou změnu teploty* prutů. Horní vlákna všech prutů se oteplí o  $\Delta t_h = 10^\circ \text{ C}$  a spodní o  $\Delta t_d = 20^\circ \text{ C}$ .

### Řešení

Na vyšetřovaném nosníku necháme působit postupně dva zatěžovací stavy:

- 1) skutečný, tj. daná nerovnoměrná změna teploty,
- 2) virtuální, představovaný silou  $\bar{F}_a = 1$  působící v průřezu  $a$  ve směru hledaného posunutí.

Virtuální síla  $\bar{F}_a = 1$  vyvolává složky reakcí vnějších vazeb  $\bar{R}_a$ ,  $\bar{R}_{bx}$ ,  $\bar{R}_{bz}$ , pomocí nichž nakreslíme obrazce normálových sil  $\bar{N}$  (obr. 1.18b) a ohybových momentů  $\bar{M}$  (obr. 1.18c).

Vztah pro vodorovné posunutí  $u_a$  průřezu  $a$  odvodíme ze čtvrtého a pátého členu Maxwellova-Mohrova vzorce (1.36). Platí obecně

$$\begin{aligned} u_a &= \int_0^s \bar{N} \alpha_t \Delta t_0 ds + \int_0^s \bar{M} \alpha_t \frac{\Delta t_1}{h} ds = \\ &= \alpha_t \left[ \Delta t_{0,1} \int_0^{l_1} \bar{N}(x_1) dx_1 + \Delta t_{0,2} \int_0^{l_2} \bar{N}(z_2) dz_2 \right] + \\ &+ \alpha_t \left[ \frac{\Delta t_{1,1}}{h_1} \int_0^{l_1} \bar{M}(x_1) dx_1 + \frac{\Delta t_{1,2}}{h_2} \int_0^{l_2} \bar{M}(z_2) dz_2 \right]. \end{aligned}$$

Uvážíme-li, že

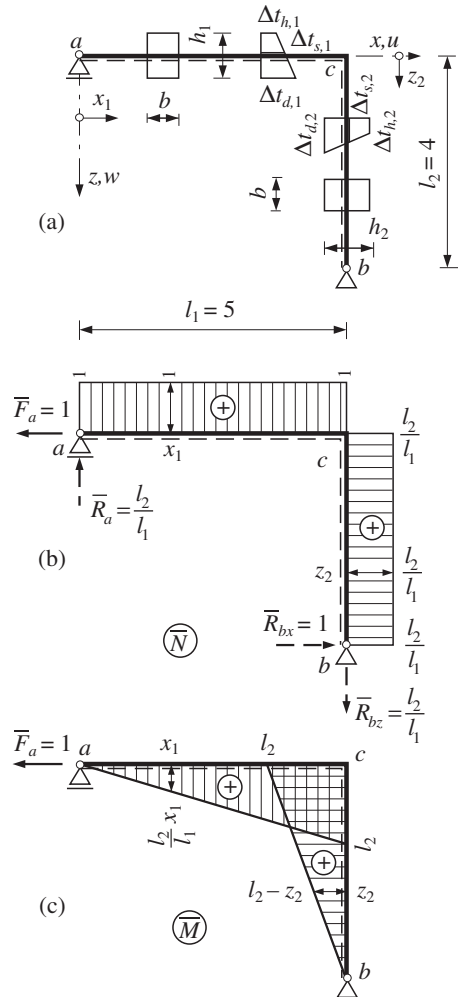
$$\Delta t_{h,1} = \Delta t_{h,2} = \Delta t_h = 10^\circ \text{ C},$$

$$\Delta t_{d,1} = \Delta t_{d,2} = \Delta t_d = 20^\circ \text{ C},$$

$$h_1 = h_2 = h, \quad \alpha_t = 1,0 \cdot 10^{-5} (\text{ }^\circ \text{ C})^{-1},$$

$$\Delta t_{0,1} = \Delta t_{0,2} = \Delta t_s = \frac{1}{2} (\Delta t_d + \Delta t_h) = 15^\circ \text{ C},$$

$$\Delta t_{1,1} = \Delta t_{1,2} = \Delta t_1 = \Delta t_d - \Delta t_h = 10^\circ \text{ C},$$



Obr. 1.18. Nerovnoměrná změna teploty na prostém nosníku

**Příklad 1.17**

Stanovte deformační veličiny  $\varphi_a$ ,  $\varphi_b$ ,  $\varphi_c$ ,  $w_c$  na prostém nosníku stálého průřezu s převýslým koncem pro spojité rovnoměrné příčné zatížení  $q$  na obr. 1.29a.

**Řešení**

Momentový obrazec  $M$  od daného zatížení  $q$  má v části  $\overline{ab}$  tvar kvadratické paraboly s maximální pořadnicí

$$M_{\max} = M_d = \frac{1}{8} ql^2.$$

Fiktivní nosník je představován Gerberovým nosníkem, který je i se zatížením uveden na obr. 1.29c. Pro výpočet jeho reakcí  $\tilde{R}_a$ ,  $\tilde{R}_b$ ,  $\tilde{R}_c$  je nosník rozdělen na základní část  $\overline{ca}$  a vedlejší část  $\overline{ab}$  (obr. 1.29d). Reakce fiktivního nosníku mají velikosti

$$\tilde{R}_a = \hat{R}_b = \frac{1}{2} \tilde{Q} = \frac{1}{2} \cdot \frac{2}{3} \cdot \frac{ql^2}{8} \cdot l = \frac{ql^3}{24},$$

$$\tilde{R}_c = \tilde{R}_a = \frac{ql^3}{24}.$$

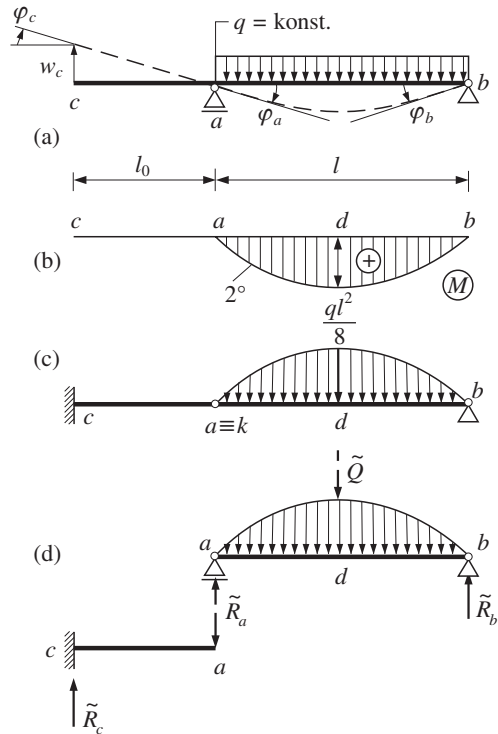
Ohybový moment  $\tilde{M}_c$  v průřezu  $c$  fiktivního nosníku je

$$\tilde{M}_c = -\tilde{R}_a \cdot l_0 = -\frac{ql^3 l_0}{24}.$$

Pootočení průřezů  $a$ ,  $b$ ,  $c$  a průhyb volného konce  $c$  prostého nosníku (obr. 1.29a):

$$\varphi_a = \frac{\tilde{V}_a}{EI} = \frac{\tilde{R}_a}{EI} = \frac{ql^3}{24EI} (\downarrow), \quad \varphi_b = -\varphi_a = -\frac{ql^3}{24EI} (\uparrow),$$

$$\varphi_c = \frac{\tilde{V}_c}{EI} = \frac{\tilde{R}_a}{EI} = \varphi_a, \quad w_c = \frac{\tilde{M}_c}{EI} = -\frac{ql^3 l_0}{24EI} (\uparrow).$$



Obr. 1.29. Deformace prostého nosníku s převýslým koncem

## 1.4. Příčinkové čáry deformačních veličin plnostěnného nosníku

### 1.4.1. Příčinková čára posunutí průřezu

„Příčinková čára průhybu  $w_m$  průřezu  $m$  plnostěnného nosníku (obr. 1.30a) je ohybová čára nosníku vyvozená silou  $F = 1$  působící v průřezu  $m$  (obr. 1.30b)“.

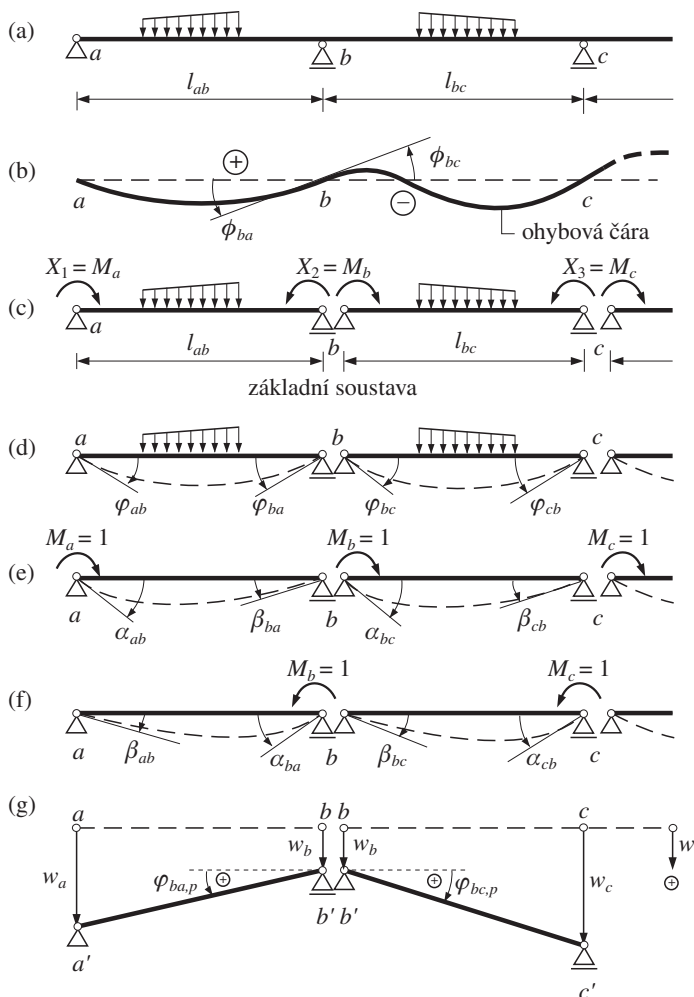
Podle Bettiho věty o vzájemnosti virtuálních prací platí

$$F\eta = Fw_m.$$

## 5.2. Řešení spojitého nosníku metodou třímomentových rovnic

### 5.2.1. Odvození třímomentové rovnice

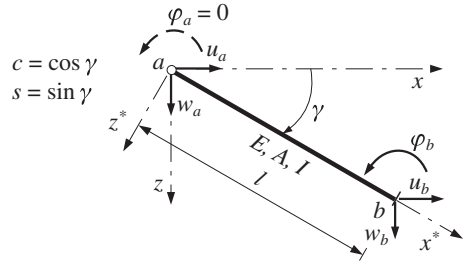
Metoda třímomentových rovnic je *metoda silová*, která volí za staticky neurčit veličiny  $X_i$  ( $i = 1, 2, \dots, n_s$ ) spojitého nosníku (obr. 5.2a) podporové momenty  $M_a, M_b, M_c, \dots$  ve vetknutí a nad vnitřními podporami. Základní staticky určitá soustava (obr. 5.2c) je tvořena soustavou prostých nosníků v počtu rovném počtu polí spojitého nosníku a o rozpětích rovných rozpětím polí spojitého nosníku.



Obr. 5.2. Základní staticky určitá soustava spojitého nosníku

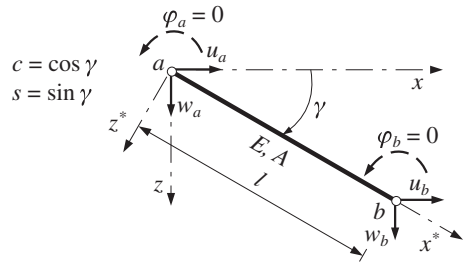
Tabulka 11.4. Globální matice tuhosti prutu konstantního průřezu (pokračování)

(c) Prut levostranně kloubově připojený



$$\mathbf{k}_{ab} = \begin{bmatrix} \frac{EA}{l}c^2 + \frac{3EI}{l^3}s^2 & \left(\frac{EA}{l} - \frac{3EI}{l^3}\right)cs & 0 & -\left(\frac{EA}{l}c^2 + \frac{3EI}{l^3}s^2\right) & -\left(\frac{EA}{l} - \frac{3EI}{l^3}\right)cs & \frac{3EI}{l^2}s \\ \left(\frac{EA}{l} - \frac{3EI}{l^3}\right)cs & \frac{EA}{l}s^2 + \frac{3EI}{l^3}c^2 & 0 & -\left(\frac{EA}{l} - \frac{3EI}{l^3}\right)cs & -\left(\frac{EA}{l}s^2 + \frac{3EI}{l^3}c^2\right) & -\frac{3EI}{l^2}c \\ 0 & 0 & 0 & 0 & 0 & 0 \\ -\left(\frac{EA}{l}c^2 + \frac{3EI}{l^3}s^2\right) & -\left(\frac{EA}{l} - \frac{3EI}{l^3}\right)cs & 0 & \frac{EA}{l}c^2 + \frac{3EI}{l^3}s^2 & \left(\frac{EA}{l} - \frac{3EI}{l^3}\right)cs & -\frac{3EI}{l^2}s \\ -\left(\frac{EA}{l} - \frac{3EI}{l^3}\right)cs & -\left(\frac{EA}{l}s^2 + \frac{3EI}{l^3}c^2\right) & 0 & -\left(\frac{EA}{l} - \frac{3EI}{l^3}\right)cs & \frac{EA}{l}s^2 + \frac{3EI}{l^3}c^2 & \frac{3EI}{l^2}c \\ \frac{3EI}{l^2}s & -\frac{3EI}{l^2}c & 0 & -\frac{3EI}{l^2}s & \frac{3EI}{l^2}c & \frac{3EI}{l} \end{bmatrix}$$

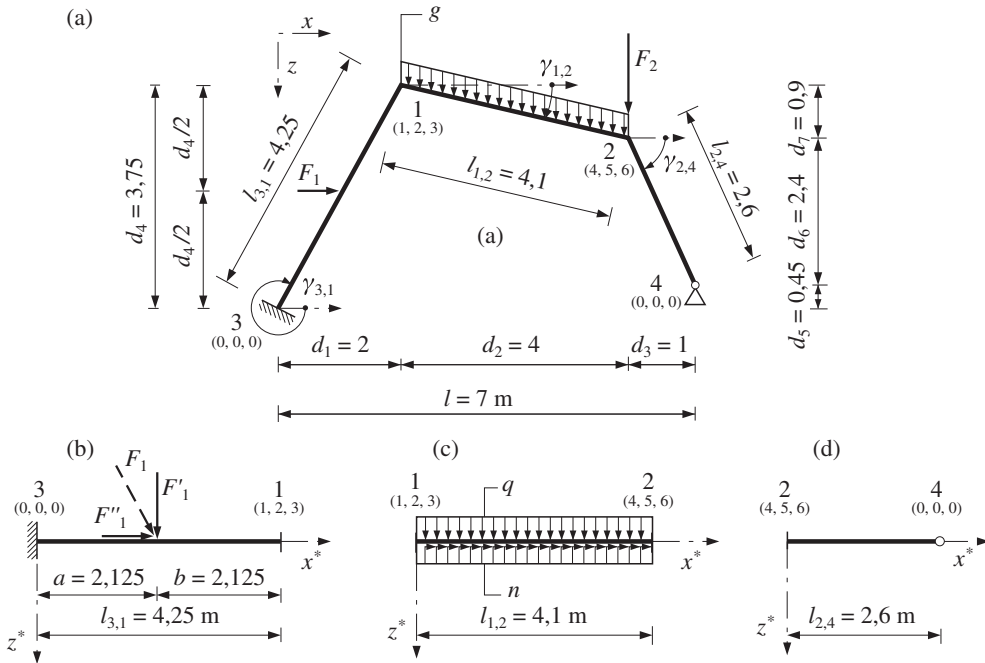
(d) Prut oboustranně kloubově připojený



$$\mathbf{k}_{ab} = \frac{EA}{l} \begin{bmatrix} c^2 & cs & 0 & -c^2 & -cs & 0 \\ cs & s^2 & 0 & -cs & -s^2 & 0 \\ 0 & 0 & 0 & 0 & 0 & 0 \\ -c^2 & -cs & 0 & c^2 & cs & 0 \\ -cs & -s^2 & 0 & cs & s^2 & 0 \\ 0 & 0 & 0 & 0 & 0 & 0 \end{bmatrix}$$

K výpočtu lokálních koncových sil z globálních parametrů deformace:

$$\mathbf{R}_{ab}^* = \mathbf{k}_{ab}^* \mathbf{r}_{ab}^* = \mathbf{k}_{ab}^* \mathbf{T}_{ab} \mathbf{r}_{ab} = \frac{EA}{l} \begin{bmatrix} c & s & 0 & -c & -s & 0 \\ 0 & 0 & 0 & 0 & 0 & 0 \\ 0 & 0 & 0 & 0 & 0 & 0 \\ -c & -s & 0 & c & s & 0 \\ 0 & 0 & 0 & 0 & 0 & 0 \\ 0 & 0 & 0 & 0 & 0 & 0 \end{bmatrix} \mathbf{r}_{ab}$$



Obr. 11.31. Jednoduchý kosoúhlý rám

$$\mathbf{r} = \{u_1, w_1, \varphi_1, u_2, w_2, \varphi_2\}^T.$$

Uzlové zatížení představuje pouze síla  $F_2$  v uzlu 2, působící v kladném smyslu parametru  $w_2$ , takže pro vektor uzlového zatížení  $\mathbf{S}$  řešeného rámu platí (11.15).

**Prut 3-1** (obr. 11.31b):

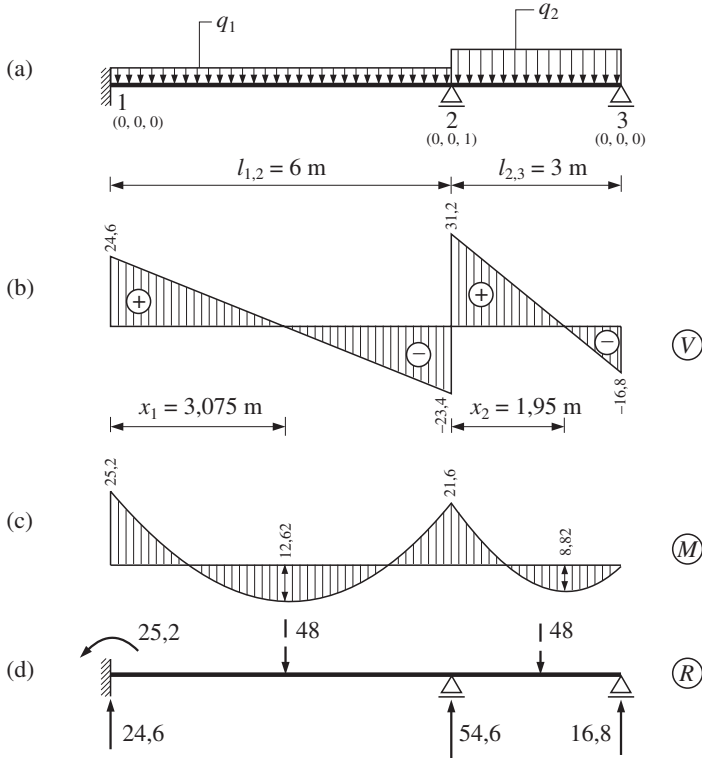
$$\mathbf{r}_{3,1} = \{0, 0, 0, u_1, w_1, \varphi_1\}^T, \text{ kódové číslo } (0, 0, 0, 1, 2, 3),$$

$$l_{3,1} \sqrt{2^2 + 3,75^2} = 4,25 \text{ m}; \quad c_{3,1} = \frac{2}{4,25} = 0,4706; \quad s_{3,1} = \frac{-3,75}{4,25} = -0,8824;$$

$$F'_1 = 10 \frac{3,75}{4,25} = 8,8235 \text{ kN}; \quad F''_1 = 10 \frac{2}{4,25} = 4,7059 \text{ kN}.$$

Podle tabulky 11.2(c) a s použitím vztahu (11.106) získáme

$$\bar{\mathbf{R}}_{3,1}^* = \begin{Bmatrix} -2,3529 \\ -4,4118 \\ 4,6875 \\ -2,3529 \\ -4,4118 \\ -4,6875 \end{Bmatrix}, \quad \bar{\mathbf{R}}_{3,1} = \begin{Bmatrix} 0 \\ 0 \\ 0 \\ 0 \\ 1 \\ 2 \\ 3 \end{Bmatrix} \begin{Bmatrix} -5 \\ 0 \\ 4,6875 \\ -5 \\ 0 \\ -4,6875 \end{Bmatrix}.$$



Obr. 11.36. Spojitý nosník řešený obecnou deformační metodou

a podle tabulky 11.3(a) je

$$\mathbf{k}_{1,2}^* = \mathbf{k}_{1,2} = \begin{bmatrix} 0 & 0 & 0 & 0 & 0 & 1 \\ \dots & \dots & \dots & \dots & \dots & 0 \\ \dots & \dots & \dots & \dots & \dots & -1,5 \\ \dots & \dots & \dots & \dots & \dots & 3 \\ \dots & \dots & \dots & \dots & \dots & 0 \\ \dots & \dots & \dots & \dots & \dots & 1,5 \\ \dots & \dots & \dots & \dots & \dots & 6 \end{bmatrix} \cdot 10^3 .$$

**Pрут 2–3** (pravostranně kloubově připojený):

$$\mathbf{r}_{2,3} = \{0, 0, \varphi_2, 0, 0, 0\}^T, \text{ kódové číslo } (0, 0, 1, 0, 0, 0),$$

$$l_{2,3} = 3 \text{ m}, A_{2,3} = 0,06 \text{ m}^2; I_{2,3} = 4,5 \cdot 10^{-4} \text{ m}^4.$$

Podle tabulky 11.2(a) pro  $q = 16 \text{ kNm}^{-1}$  a  $n = 0$  je

$$\begin{aligned}
& 2 \left( k_{ab} + \frac{3}{4} k_{ac} + k_{ad} \right) \varphi_a + k_{ab} \varphi_b + k_{ad} \varphi_d - 3k_{ab} \psi_{ab} - \frac{3}{2} k_{ac} \psi_{ac} - 3k_{ad} \psi_{ad} = \\
& = M_a - (\bar{M}_{ab} + \bar{M}_{ac} + \bar{M}_{ad}), \tag{12.49}
\end{aligned}$$

kde podle (12.26) je  $k'_{ac} = \frac{3}{4} k_{ac}$ .

Různé tvary styčnickových rovnic rovinných rámu jsou uvedeny v numerických příkladech 12.5 až 12.9.

## 12.8. Patrová rovnice

### 12.8.1. Základní tvary patrových rovnic

U rovinných rámu s posuvnými styčnicí je nutno ke každému nezávislému posunu  $\Delta$ , resp. nezávislému prutovému pootočení  $\psi$ , sestavit odpovídající patrovou rovnici. *Patrová rovnice* představuje silovou podmínku rovnováhy ve směru příslušného nezávislého posunu, napsanou na uvolněné části rámu, oddělené patrovým řezem, která obsahuje všechny styčnicí mající společný posun  $\Delta$ . Podstatu sestavení patrových rovnic ukážeme na rámu s pruty konstantního průřezu a neprůběžným sloupem (obr. 12.14a).

Pro vytvoření základní deformačně určité soustavy na obr. 12.14b podle odstavce 12.1 musíme do rámu vložit pět fiktivních momentových vazeb ve styčnicích  $a, b, c, d, e$  a tři fiktivní silové vazby. Dvě z těchto silových vazeb jsou vodorovné, umístěné v úrovni hlav sloupů patra prvního a druhého, třetí vazba je svislá v místě neprůběžného sloupu  $be$ . Vyšetřovaný rám má pět nezávislých styčnickových pootočení  $\varphi_a, \varphi_b, \varphi_c, \varphi_d, \varphi_e$ , tři nezávislé posuny  $\Delta_I, \Delta_{II}, \Delta_{III}$ , resp. tři nezávislá prutová pootočení  $\psi_I, \psi_{II}, \psi_{III}$ , a stupeň přetvárné neurčitosti  $n_{p,z} = 5 + 3 = 8$ .

Osová deformace rámu je nakreslena na obr. 12.14c přerušovanou čarou. Vzhledem k tomu, že zanedbáváme vliv normálových sil na deformace prutů (dilatace  $\Delta l = 0$ ), musí být posunutí styčnicí ležících na jedné vodorovné příčli, resp. na jednom svislém sloupu, stejné. Platí tedy pro nezávislé posuny

$$\begin{aligned}
\Delta_I &= u_a = u_b = u_c, \\
\Delta_{II} &= u_d = u_e, \\
\Delta_{III} &= w_b = w_e \tag{12.50}
\end{aligned}$$

a nezávislá prutová pootočení

$$\begin{aligned}
\psi_I &= \psi_{af} = \frac{\Delta_I}{l_{af}}, \\
\psi_{II} &= \psi_{be} = \frac{\Delta_{II} - \Delta_I}{l_{be}}, \\
\psi_{III} &= \psi_{ab} = \frac{\Delta_{III}}{l_{ab}}. \tag{12.51}
\end{aligned}$$



*Stále naříkáme,  
že máme málo času,  
ale žijeme tak,  
jako bychom ho měli nazbyt.*

Seneca

## 14. Tabulky

V závěru učebnice je uvedeno 11 tabulek, které mají obecnou platnost a jsou využívány v numerických výpočtech staticky určitých i neurčitých rovinných prutových konstrukcí. S jejich použitím se statické řešení rovinných plnostěnných nosníků, rámu a oblouků velmi usnadní a urychlí.

### Tabulka 14.1

#### Deformace konzoly konstantního průřezu

V tabulce jsou uvedeny obecné vztahy pro průhyb  $w$  a pootočení  $\varphi$  volného konce konzoly délky  $l$ , vyvolané třinácti zatěžovacími stavy, s kladnými smysly podle obrázku u zatěžovacího případu 2.

### Tabulka 14.2

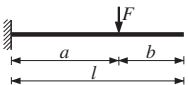

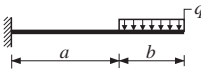
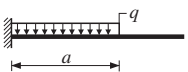
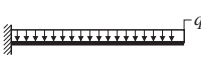
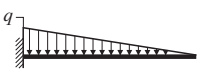
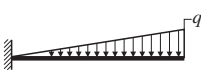
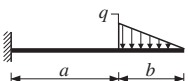

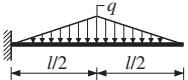
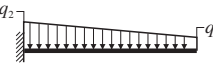
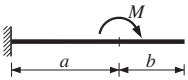
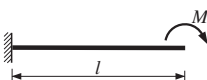
#### Deformace prostého nosníku konstantního průřezu

Pro 26 zatěžovacích případů vodorovného prostého nosníku  $ab$  o rozpětí  $l$  jsou uvedeny vztahy pro maximální průhyb  $w_{\max}$  nebo průhyb  $w$  v charakteristickém průřezu  $x$  nosníku a výrazy pro pootočení  $\varphi_a, \varphi_b$  koncových průřezů  $a, b$  s kladnými smysly podle obrázku u zatěžovacího případu 1. Pouze u zatěžovacího případu 25 je jiný tvar ohybové čáry nosníku, jak je patrné z nákresu.

Při řešení přetvoření rovinného plnostěnného prostého nosníku (podle obr. 1.19 v odstavci 1.2) se uvažuje průhyb nosníku kladný, směřuje-li dolů. Pootočení  $\varphi$  průřezu nosníku, tj. sklon tečny k ohybové čáře s původní osou nosníku, se měří kladně po smyslu chodu hodinových ručiček. Při zatížení prostého nosníku ve směru tíže je tedy srovnání s tabulkovými výrazy pootočení  $\varphi_a$  levého konce  $a$  kladné, zatímco pootočení  $\varphi_b$  pravého konce  $b$  je záporné.

Ve statické analýze jednoduchého vetknutého nosníku (odstavec 4.1) a spojitého nosníku (odstavec 5.2) silovou metodou se považují pootočení  $\varphi_a, \varphi_b$  koncových průřezů  $a, b$  prostého nosníku za kladná, když se nosník v blízkosti podpor prohýbá směrem dolů. Tato konvence se přesně shoduje se vztahy uvedenými v tabulce 14.2.

Tabulka 14.1. Deformace konzoly konstantního průřezu

Zatěž. případ	Schéma zatížení	Průhyb volného konce $w$	Pootočení volného konce $\varphi$
1		$\frac{Fa^2}{6EI}(3l - a)$	$\frac{Fa^2}{2EI}$
2		$\frac{Fl^3}{3EI}$	$\frac{Fl^2}{2EI}$
3		$\frac{q}{24EI}(3l^4 - 4a^3l + a^4)$	$\frac{q}{6EI}(l^3 - a^3)$
4		$\frac{qa^3}{24EI}(4l - a)$	$\frac{qa^3}{6EI}$
5		$\frac{ql^4}{8EI}$	$\frac{ql^3}{6EI}$
6		$\frac{ql^4}{30EI}$	$\frac{ql^3}{24EI}$
7		$\frac{11}{120} \cdot \frac{ql^4}{EI}$	$\frac{ql^3}{8EI}$
8		$\frac{qb}{30EI}[5(l-b)l^2 + b^3]$	$\frac{qb}{24EI}(6l^2 - 8lb + 3b^2)$
9		$\frac{qb}{120EI}[10(2l-b)l^2 + b^3]$	$\frac{qb}{24EI}(6l^2 - 4lb + b^2)$
10		$\frac{11}{192} \cdot \frac{ql^4}{EI}$	$\frac{7}{96} \cdot \frac{ql^3}{EI}$
11		$\frac{l^4}{120EI}(11q_1 + 4q_2)$	$\frac{l^3}{24EI}(3q_1 + q_2)$
12		$\frac{Ma}{2EI}(l + b)$	$\frac{Ma}{EI}$
13		$\frac{Ml^2}{2EI}$	$\frac{Ml}{EI}$